

## ЛИТЕРАТУРА

1. Г. Маркштейн. РТК, 1963, 3, 3.
2. А. И. Григорьев, Д. И. Полищук.— В сб.: Физика аэродисперсных систем. Вып. 8, 1973.
3. Физико-химические свойства окислов. М., «Металлургия», 1969.
4. Н. Х. Абрикосов, Лян Цзунь-У, Ю. М. Шашков. Изв. АН СССР, ОТН, 1960, 4.
5. D. Mesehi, W. Chupka, J. Bergkowitz. Chem. Phys., 1960, 33, 2.
6. Р. Рид, Т. Шервуд. Свойства газов и жидкостей. Л., «Химия», 1971.

УДК 541.124:128

## ВЛИЯНИЕ МЕДНООКИСНЫХ КАТАЛИЗАТОРОВ НА ТЕМПЕРАТУРУ САМОВОСПЛАМЕНЕНИЯ СМЕСИ ИЗОБУТИЛЕНА И ПАРОВ ХЛОРНОЙ КИСЛОТЫ

В. В. Богданова, А. И. Лесникович, С. П. Грибковская

(Минск)

Исследование особенностей взаимодействия паров хлорной кислоты с углеводородами в присутствии окисных катализаторов представляет интерес в связи с возможным влиянием этой реакции на скорость горения гетерогенных конденсированных систем на основе перхлората аммония и полимерного связующего. Катализированное взаимодействие хлорной кислоты и изобутилена изучено недостаточно [1, 2]. Ранее нами показано, что самовоспламенение смеси этих веществ чувствительно к структурным особенностям твердых добавок, в присутствии которых оно облегчается или затрудняется в зависимости от природы добавки или способа ее получения. На примере феррита меди  $\text{CuFe}_2\text{O}_4$  было также установлено влияние симметрии ионов металла на проявляемую добавкой активность. Кубическая и тетрагональная модификации феррита, отличающиеся степенью обращенности, оказывали различное ингибирующее действие на изучаемый процесс: в первом случае температура самовоспламенения смеси изобутилена и паров  $\text{HClO}_4$  повышалась на  $100^\circ\text{C}$ , а во втором — на  $15^\circ\text{C}$  по сравнению с контрольным опытом [2].

Дальнейшие опыты в этом направлении были поставлены для того, чтобы выяснить, какое влияние на каталитическую активность смешанных окислов оказывает образование из них при прокаливании соединений типа  $\text{CuMe}_2\text{O}_4$ , где  $\text{Me}=\text{Cr}, \text{Co}, \text{Mn}$ . Результаты этих опытов приведены ниже.

Катализаторы получались совместным осаждением соответствующих гидроокисей ( $\text{Cu:Me}=1:2$ ) двухкратным избытком щелочи с последующей их отмыткой, высушиванием до постоянного веса и прокаливанием на воздухе (а в случае системы гидроокисей меди и марганца также и в азоте) в интервале  $200$ — $900^\circ\text{C}$  в течение 2 ч. Во всех случаях в синтезах использовались хлориды перечисленных выше металлов. Фазовый состав препаратов контролировался с помощью дифрактометра УРС-50 ИМ. Удельная поверхность определялась по адсорбции четыреххлористого углерода или криптона (при  $S_{\text{уд}} < 10 \text{ м}^2/\text{г}$ ). Активность препаратов оценивалась по разности температур ( $\Delta T$ ) самовоспламенения смеси  $\text{HClO}_4$  и  $i\text{-C}_4\text{H}_8$  в контрольном опыте ( $T=250^\circ\text{C}$ ) и в опыте с катализатором, масса которого во всех случаях была одинакова (50 мг). Методика определения температуры самовоспламенения,

воспроизводимость опытов и конструкция установки описаны в работе [2].

В таблице приведены данные по активности смешанных и индивидуальных окислов, полученных, как указано выше, дегидратацией совместно осажденных (СОГ) и индивидуальных гидроокисей при различных температурах, а также величины их удельных поверхностей.

Индивидуальные окислы, полученные при 400°C, имеют довольно высокую активность, которая, однако, заметно понижается с увеличением температуры термообработки, что, возможно, связано с уменьшением их удельных поверхностей при прокаливании.

Как видно из таблицы, активность сложных окислов с ростом температуры термообработки возрастает, несмотря на уменьшение удельной поверхности катализаторов, которое обычно снижает эффективность их действия. В связи с тем, что при прокаливании меняется не только поверхность, но и фазовый состав смешанных окислов, целесообразно провести сравнение между активностью препаратов и изменением их фазового состава.

Из рентгенографических данных следует, что формирование хромита меди из СОГ начинается при 400°C. На рентгенограмме этого образца (рис. 1) видны размытые, наиболее интенсивные линии хромита меди. Начало формирования кристаллической фазы  $\text{CuCr}_2\text{O}_4$  сопровождается резким падением активности препарата: для образца, прокаливавшегося при 300°C  $\Delta T = 38^\circ\text{C}$ , а при 400°C  $\Delta T = 5^\circ\text{C}$ . Высокая активность первого катализатора может быть объяснена наличием в нем активной рентгеноаморфной меди, расходование которой на образование хромита меди при прокаливании при 400°C приводит к падению активности. С ростом температуры прокаливания (500—800°C) интенсивность линий  $\text{CuCr}_2\text{O}_4$  на рентгенограммах возрастает. Линии становятся более узкими, наблюдается появление новых дифракционных максимумов в области больших углов. Увеличение количества и кристалличности хромитной фазы в препаратах приводит к повышению их активности ( $\Delta T$  образца, прока-

Условия синтеза и активность индивидуальных и сложных окислов

Катализатор	Температура прокаливания, °C	Удельная поверхность, м²/г	$\Delta T$ , °C
CuO	200	56	50
	300	39	43
	500	28	42
$\text{Cr}_2\text{O}_3$	400	40	31
	700	5	19
$\text{Co}_3\text{O}_4$	400	50	72
	700	5	7
$\text{Mn}_2\text{O}_3$	425	10	47
$\text{CuMnO}_2$	—	8	48
$\text{CuMn}_2\text{O}_4$	—	6	59
СОГ Cu:Cr=1:2	300	42	38
	400	35	5
	500	27	8
	600	19	10
	700	6	25
	800	2	27
	900	0,5	20
	300	57	20
	400	42	26
СОГ Cu:Co=1:2	500	30	37
	600	19	44
	700	6	45
	800	2	47
	300	30	42
СОГ Cu:Mn=1:2	400	19	45
	500	11	60
	600	6	62
	300	26	60
СОГ Cu:Mn=1:2 (азот)	400	11	49
	500	9	68
	600	4	54

лившегося при 500°, равно 8°C, а при 800°—27°C). Дальнейшее повышение температуры (до 900°C) вызывает частичное превращение  $\text{CuCr}_2\text{O}_4$  в  $\text{Cu}_2\text{Cr}_2\text{O}_4$ .

В случае СОГ кобальта и меди влияние формирования кобальтита меди, которое начинается при 200°C, на температуру самовоспламенения смеси прослеживается менее однозначно, возможно, из-за присутствия в препарате фазы  $\text{CuO}$ , наиболее интенсивные линии которой появляются у образца, прокаленного при 300°C (рис. 2). Они сохраняются в прокаленных образцах до 800°C. Однако в противоположность тенденции к уменьшению активности с ростом температуры прокаливания, наблюдающейся для индивидуальных окислов, в данном случае заметен ее рост, что соответствует увеличению количества и кристалличности  $\text{CuCo}_2\text{O}_4$  в препарате. Когда концентрация кобальтитной фазы в продукте достигает своего предельного значения, начиная с 600°C (см. рис. 2),  $\Delta T$  почти не изменяется.

В продуктах прокаливания соосажденных гидроокисей марганца (II) и меди в инертной атмосфере (азот) обнаруживается фаза  $\text{CuMnO}_2$ , а также  $\text{Mn}_2\text{O}_3$  и  $\text{CuMn}_2\text{O}_4$ , образующиеся из окислившейся при соосаждении части гидроокиси  $\text{Mn}(\text{OH})_2$ . Прокаливание препарата на воздухе способствует полному окислению марганца до трехвалентного состояния и образованию медно-марганцевой шпинели, наиболее интенсивные линии которой обнаружены на рентгенограмме 400-градусного образца.  $\text{Mn}_2\text{O}_3$  присутствует в этом препарате в виде примеси. Поскольку продукты прокаливания СОГ меди и марганца в азоте и на воздухе представляли собой смесь фаз ( $\text{CuMnO}_2$ ,  $\text{CuMn}_2\text{O}_4$ ,  $\text{Mn}_2\text{O}_3$ ), определялось влияние индивидуальных  $\text{CuMnO}_2$ ,  $\text{CuMn}_2\text{O}_4$ , синтезированных по методике, описанной в работе [3] и  $\text{Mn}_2\text{O}_3$ , полученной термическим разложением карбоната марганца при 425°C, на температуру самовоспламенения изучавшейся смеси. В таблице приведены данные по активности медно-марганцевых препаратов. Температура воспламенения смеси  $\text{HClO}_4$  и  $i\text{-C}_4\text{H}_8$  на разных образцах отличается незначительно, что создает трудности в определении роли каждой из фаз в катализическом процессе.

Рост активности сложных окислов при увеличении температуры прокаливания показывает, что при термообработке образуются катализически активные соединения. Необходимо отметить, что все рассматривавшиеся выше препараты при прокаливании образуют нормальные шпинели с тетраэдрической координацией иона  $\text{Cu}^{2+}$  при хорошо сформированной кристаллической решетке и особенности проявляемой ими активности могут быть объяснены с учетом этого обстоятельства. В отличие от обратной шпинели  $\text{CuFe}_2\text{O}_4$ , проявляющей ингибирующие

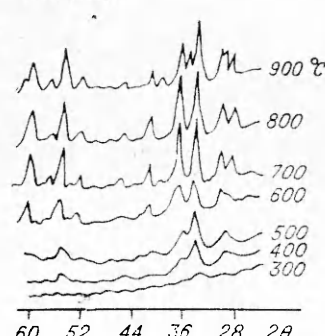


Рис. 1. Рентгенограммы продуктов прокаливания СОГ  $\text{Cu : Cr} = 1 : 2$ .

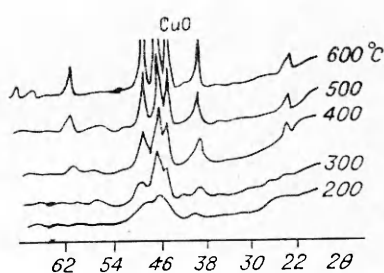


Рис. 2. Рентгенограммы продуктов прокаливания СОГ  $\text{Cu : Co} = 1 : 2$ .

свойства в изучавшейся реакции [2], нормальные шпинели  $\text{CuCr}_2\text{O}_4$ ,  $\text{CuCo}_2\text{O}_4$  и  $\text{CuMn}_2\text{O}_4$  существенно снижают температуру самовоспламенения смеси, что, вероятно, связано с различием в характере координации ионов меди в этих типах шпинелей. В нормальных шпинелях ионы меди в тетраэдрических позициях могут рассматриваться как координационно ненасыщенные, что весьма существенно для катализитического акта.

Заметная аналогия в изменении активности смешанных медьсодержащих окислов хрома и кобальта по мере формирования фазы  $\text{CuMe}_2\text{O}_4$ , по-видимому, обусловлена близостью структурно-чувствительных свойств шпинелей  $\text{CuCr}_2\text{O}_4$  и  $\text{CuCo}_2\text{O}_4$ . Эта близость объясняется известной эквивалентностью полузаполненных и заполненных электронных оболочек (в данном случае  $t_{2g}$ -орбиталей), которые реализуются в сильном октаэдрическом поле соответственно для  $\text{Cr(III)}$  — электронная конфигурация  $d^3$  и  $\text{Co(III)}$  — конфигурация  $d^6$ .

Образование шпинели  $\text{CuMn}_2\text{O}_4$  в системе смешанных окислов меди и марганца не сопровождается существенным изменением  $\Delta T$  по сравнению с этой величиной для индивидуальных окислов, как это имело место в предыдущих случаях. Такую особенность медно-марганцевой системы можно также объяснить определенным подобием электронных конфигураций ионов  $\text{Cu}^{2+}$  и  $\text{Mn}^{3+}$  ( $d^9$  и  $d^4$ ), имеющих «дырку» в заполненной и полузаполненной  $d$ -подоболочке. При образовании химического соединения  $\text{CuMn}_2\text{O}_4$  взаимное влияние таких ионов мало отличается от влияния друг на друга одинаковых ионов в индивидуальных окислах, и поэтому активность шпинели мало отличается от активности окислов  $\text{CuO}$  и  $\text{Mn}_2\text{O}_3$ .

Поступила в редакцию  
15/XI 1974

#### ЛИТЕРАТУРА

1. Г. С. Пирсон, Д. Саттон. РТК, 1967, 5, 2, 205.
2. В. В. Богданова, В. Ф. Комаров и др. ФГВ, 1974, 10, 1, 99.
3. G. Rienäcker, K. Werneg. Z. anorg. allg. Chem., 1964, 327, 275.

УДК 662.58

## ВОСПЛАМЕНЕНИЕ ЖИДКИХ ВЗРЫВЧАТЫХ ВЕЩЕСТВ ПРИ ВЯЗКОСТНОМ НАГРЕВЕ

А. П. Амосов, С. А. Бостанджиян,  
Ж. А. Зиненко, В. С. Козлов

(Москва)

При течении жидких ВВ с большими градиентами скоростей могут наблюдаться значительные диссилативные разогревы особенно для сильновязких ВВ. Поэтому представляет определенный интерес исследование теплового воспламенения при течении жидких ВВ под совместным действием химических и механических источников тепла.

Для некоторых случаев течения подобные исследования проводились в работах [1, 2]. В работе [1] задача рассматривалась для пуазейлевского течения вязкой реакционноспособной жидкости в бесконечной